

$\text{Si}\phi_x$

$x = 1, 2, 3$

SID

Rochester Co.

1936

Z. Physite 101, 769

Monoclinic crackle SHT a SID

1957

5713

Si_2H_6 , Si_2D_6 (mol. const.)

Bethke G.W., Wilson M.K.

J.ChemPhys., 1957, 26, N 5,
1107-1117

J

5716

1957

Si_2H_6 , Si_2D_6 (sil.post)

Ковалев И.Ф.

Оптика и спектроскопия, 1957, 3, № 6,
552-559

Колебательные спектры и ...

3

1961

Si-D

Пономаренко В. А.

V_{Si-D}

Егоров В. Н.

Из АН ССР (ОХН) 1960 № 1133

Кондаков и др. Задачи сдвигов

Si-H и Si-D и электрических
сдвигов ионов силиконовых грунтов

1961

5711

SiH_4 , SiD_4 , GeH_4 , GeD_4 (f, Dj, Djr)

Thyagarajan G., Herranz J., Cleveland
J. Molec. Spectrosc., 1961, 1, 154-8

Petential energy...

J

1962

M 1273

SiH₄, SiD₄ (Vi)
~~SiH₄~~

Ball D.F., Mc Kean D.C.

Spectrochim. acta, 1962, 18, N 8,
1029-1037

Frequency shifts from gas to
crystal. I SiH₄ and SiD₄

PF., 1966, 8D142

J

1962

8496

Gell₂, Gell₃, SIR₂, SIR₃, UeP₂, UeP₃

(Vi)

Nagarejan G.

Bull. Soc. Chim. Belg., 1962, 71,

pp. 546, 361-369

Mean amplitudes of ...

5

1964

10125

~~CHD₂, CH₂D₂, SH₂D₂, SHD₂, SHH₂D₂~~ (VI)

Большунов Н.С., Морозов В.П.
Сибирский институт нефти и газа
АН СССР Сибирск. отд. 1964, ТЕГ-15
Часть II Технология ***

3

Ommeeek 314 | 1965

SiH

(SiD)

The spectrum of SiH and SiD. R. D. Verma (Natl. Res. Council, Ottawa). Can. J. Phys. 43(12), 2136-41(1965)(Eng). Two new systems of SiH and SiD in the regions around 3250 and 2050 Å., in addn. to the well-known $^2\Delta - ^2\Pi$ system, have been recorded in absorption and their rotational analysis (except for the $^2\Delta - ^2\Pi$ system of SiH) has been carried out. The new states are $^2\Sigma^+$ at $T_0 = 30,974.69 \text{ cm.}^{-1}$ and $^2\Delta$ at $T_0 = 48,603.46 \text{ cm.}^{-1}$. The rotational consts. for all the states known in SiD have been detd. The upper limit of the dissociation energy of SiH has been fixed at $24,680 \text{ cm.}^{-1}$ by predissocn.

RCCN

C.A. 1966
4455 d

64.4

(cu. maxne SiH) III



1965

Si H

Si D

и. и.

6 Д232. Спектр SiH и SiD. Verma R. D. The spectrum of SiH and SiD. «Canad. J. Phys.», 1965, 43, № 12, 2136—2141 (англ.).

314

В УФ-спектрах поглощения SiH и SiD, полученных импульсным фотолизом смеси фенилсилана с водородом, изучены известная ранее система $^2\Delta - ^2\Pi$ и две новые системы полос в областях 3250 и 2050 Å. Последние отнесены к состояниям $^2\Sigma^+$ ($T_0 = 30974,69 \text{ см}^{-1}$) и $^2\Delta$ ($T_0 = 48603,46 \text{ см}^{-1}$) соответственно. Новое $^2\Delta$ -состояние приписывается электронной конфигурации $(3s\sigma)(3p\sigma)^2(3p\pi)^2$. Проведен вращательный анализ всех систем, кроме $^2\Delta - ^2\Pi$ у SiH и рассчитаны вращательные постоянные SiD для всех известных состояний. Верхний предел энергии диссоциации SiH ограничен предиссоциацией и определен равным $24\ 860 \text{ см}^{-1}$. С. Бурейко

д. 1966. 60

Физ. 1

530.1

Rotenberg A.

Monte Carlo equation of state for hard spheres in an attractive square well.

J. Chem. Phys., 1965, 43, N 4, 1198—1201.

Вычисление методом Монте Карло уравнения состояния жестких шаров с притягательным потенциалом в виде прямоугольной ямы.

1953

1966

Mol. noes., ie (SnH_4 , GeH_4 , SiH_4 ,
 SnD_4 , GeD_4 , LiD_4 , SnD_3H ,
 GeD_3H , SiD_3H , SnDH_3 , GeDH_3 ,
 LiDH_3)

Wilkinson G. R., Wilson M. K.

J. Chem. Phys., 1966, 44, v10, 3867-3874/accuracy

Infrared spectra of some M_4H_4 molecules

Proc. Roy. Soc., 1967, 157485

Ommex 351 1967

SiH_2

Dubois J., Herzberg G.,
Verma R. D.

сверху

J. Chem. Phys., 47, n^o 10,
4262.

Сверху SiH_2



(сверху SiH_2) III

SID

Reykning L.

1967

Lindgren B.

Azkr. f. Fys., 1967, 33, 73

Gneisens utveckling i beräknad
i geotekniskt kriterium

(Cir. SiH) III

S. D₂ (SiD₂)
S. D₂ (SiH₂)

Gittertyp WCA
def. c = 10.4 Å
 $\angle HSiH = 99^\circ 5'$

$r_{Si-H} = 1.15 \text{ Å}$

basiscrys:

$\angle 123^\circ, \frac{1}{2} = 1.487 \text{ Å}$

$V_1 \approx 860 \text{ cm}^{-1}$

$V_2 \approx 1004 \text{ cm}^{-1}$
2.25 GPa

oxygen 2141
Dubois J. Lab

Canad. J. Phys., 1968, 46, 2485

Металл носитель
Chodatko - Jagoda et al.

0.5% 4800-6500 K. min. pay off Silly
 $\ell = 2.4, 2.4 \times 0.25 (\Sigma = 18.3)$

Silly ~ 5 sec
polycryst. 3000 K 1000. 1000-6000 cm⁻¹

SID

Commonwealth of Massachusetts

M. N.,

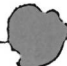
8i

Hertzberg G. v gp

1969

Canad. J. Phys.,

1969, 44, n 18, 1888



(See. 8iH) III

SiH, SiD, GeH, GeD, SnH, SnD(u.n.) 1971

Veseth L.,

XIV 3572

Physica, 1971, 56, N₂, 286-293
(arwi.)

Second-order spin-orbit
splitting in 2Δ states of
diatomic molecules. Bag erib

Bte Xuui, 1972, 9515 12-10

④

50602.5516

Ch, TC

89480

SiH₃

1975

№5-8984

Katsu Takashi, Yatsurugi Yoshifumi,

Sato Mitsuo, Fujita Yuzaburo

Silicon-29 hyperfine splitting of the
SiH₃ radical. "Chem. Lett.", 1975, N 4,

343-346

(англ.) (смр. SiH₃; III)

0371 пнк

357

ВИНИТИ

SiD_2

1985

Fredrik Leijf, Hauge R.H.,
et al.

U.K. Creemers

8

M. Geerlings

J. Chem. Phys. 1985,
82 (8), 3542-5.

(Cw. SiH_2 ; III)

1985

SiD₃

12 Л196. Колебательные спектры, анализ нормальных координат и барьер внутреннего вращения винилсилина. Vibrational spectra, normal coordinate analysis and torsional barrier of vinylsilane. Kalasinsky V. F., Rodgers S. E., Smith J. A. S. «Spectrochim. acta», 1985, A41, № 1—2, 155—165 (англ.)

Получены спектры ИК-поглощения и комб. рас. в области 100—3300 см⁻¹ винилсилина и его дейтерированного аналога винилсилина — SiD₃ в газовой фазе. Измерение спектров проведено с разрешением 0,5 см⁻¹. Проведена полная интерпретация колебательных спектров и анализ нормальных координат колебаний. В спектрах ИК-поглощения отчетливо проявляются суммарные и разностные комбинации валентных колебаний SiH₃ с низкочастотными торсионными колебаниями этих групп. Аналогичные комбинации наблюдаются также для симметричных деформационных колебаний SiH₃ и валентных колебаний SiD₂. Определены частоты и молекулярные параметры торсионных колебаний SiH₃ и SiD₃. Библ. 21.

К. Э. М.

оф. 1985, 18, N12

SiD_3^-

1986

Nimlos M.R., Ellison
G.B.

v.n. J. Amer. Chem. Soc.,
1986, 108, N21, 6822-
-6829.
(act. SiH_3^- ; III)

Sid

1987

Seebass W., Werner J.
Urban W., et al.,

MN. Mol. Phys., 1987, 62,
N1, 161-174.

(coll. SiH; II)

SiD_3

1989

Johnson R. D., III,
Tsai. Bilir P. et al.

y, D AIP Conf. Proc. 1988 (Pub.
1989). 191, 497-9.

(eeer. SiH_3 ; III)

SiD3

OM-33484

1989

Johnson R. D.,
Tsai B. P., et al.

Флексы.
Симметрии,
коэффициенты.
Академия
науков. 4
Руббер зем.,

J. Chem. Phys. 1989,
91, N6, 3340-3359.

Si^{II}

1989

Johnson Russell D., III,
Hudgens Jeffrey W.

J. Coceano. 24. J. Phys. Chem. 1989,
93 (17), 6268 - 70.



(catal. SiH; III)

SiH₃

(Om. 35782)

1991

Johnson R. D., Hudgens J. W.,

et al.

Pugdepr.

coauthors

J. Chem. Phys. 1991, 94, N 8,
5331-5340.

Multiphoton ionization of
SiH₃ and SiH₃ radicals.

II. Three photon resonance -
enhanced spectra observed
between 450 and 610 nm.

SiD_2

1992

Fukushima M.,
Mayama S. et al.

et. n.

J. Chem. Phys. 1992,
96, N 1. C. 44-52.

(all. SiH_2 ; II)

1994

SiD₂

120: 333929q Rotational analysis of the SiD₂ \tilde{A}^1B_1 - \tilde{X}^1A_1 transition observed in a jet. Fukushima, Masaru; Obi, Kinichi (Dep. Chem., Tokyo Inst. Technol., Tokyo, Japan 152). *J. Chem. Phys.* 1994, 100(9), 6221-7 (Eng). The SiD₂ radical was produced by ArF laser photolysis of C₆H₅SiD₃ in a free-jet-expansion, and the laser-induced fluorescence (LIF) excitation spectrum of the A 1B_1 -X 1A_1 transition of SiD₂ was measured. The LIF excitation spectra of the five vibronic bands, (0, v'_2 , 0)-(0, v''_2 , 0), $v'_2-v''_2 = 0-0, 1-0, 2-0, 1-1$, and $2-2$, were obtained using a narrow-band dye laser with an intracavity etalon, the resoln. of which attained to $\sim 0.03\text{ cm}^{-1}$. The rotational structures of the vibronic bands were well analyzed by a Hamiltonian including fourth-order terms, and the mol. consts. were detd. for the vibronic levels, $v_2 = 0, 1$, and 2 , of the A 1B_1 and X 1A_1 states. By comparing the obsd. rotational line intensities with simulated ones, the authors found two kinds of intensity anomalies depending on the rotational quantum nos. J and K_a. The authors conclude that both the anomalies are caused by a predissocn. process to the dissocn. continuum, Si(³P) + D₂, which was proposed previously [J. Chem. Phys. 96, 44 (1992)]. The K_a dependent anomaly was explained by the interaction terms in the Fermi Golden Rule expression for the predissocn. process, and the J dependence was interpreted by the final-state d.

$$\left(\tilde{A}^1B_1 - \tilde{X}^1A_1\right)$$

C.A. 1994, 120, n 26

SiD₂

1994

19 Б1304. Вращательный анализ перехода $\tilde{A}'B_1 - \tilde{X}'A_1$,
 SiD_2 , наблюдавшегося в струе. Rotational analysis of the
 $\tilde{A}'B_1 - \tilde{X}'A_1$ transition observed in a jet / Fukushima M.,
Obi K. // J. Chem. Phys. — 1994. — 100, № 9. — С. 6221—
6227. — Англ.

М.Н.

X. 1994, N 19.

SiD
SiD₂
SiD₃

J, abc
nonperturb.
cl. mostly

c. A - 1997,
126, NY

1996

126: 51201u Electron impact ionization of the SiD_x ($x = 1-3$) free radicals. Tarnovsky, V.; Deutsch, H.; Becker, K. (Physics Department, City College of C.U.N.Y., New York, NY USA). *J. Chem. Phys.* 1996, 105(15), 6315-6321 (Eng), American Institute of Physics. We report measurements of abs. cross sections for the electron-impact ionization and dissociative ionization of the SiD_x ($x = 1-3$) free radicals from threshold to 200 eV using the fast-neutral-beam technique. The deuterated rather than the protonated target species were used in order to allow a better sepn. of the various product ions from a given parent in our app. A common feature of all three radicals studied in this work is a dominant parent ionization cross section with essentially the same abs. value of roughly 3.7×10^{-16} cm² at 70 eV. Dissociative ionization processes for all three targets are less significant with a single dissociative process dominating in each case, viz. the removal of a single D atom ($\text{SiD}_x + e^- \rightarrow \text{SiD}_{x-1}^+ + D + 2e^-$). The cross section for this dominant dissociative ionization channel also had the same max. value of about 1.2×10^{-16} cm² for all three targets. A comparison of the exptl. detd. total single ionization cross sections with calcd. cross sections using a modified additivity rule showed good-to-satisfactory agreement for all three targets in terms of the abs. values, but reveals some discrepancies in the cross section shapes.